



# ALGUMAS APLICAÇÕES E RESULTADOS RECENTES EM CODIFICAÇÃO DE REDE

Bartolomeu F. Uchôa-Filho<sup>1</sup>, João Luiz Rebelatto<sup>1,2</sup>, Roberto W. Nóbrega<sup>1,3</sup>

<sup>1</sup> Universidade Federal de Santa Catarina, Florianópolis, Brasil

<sup>2</sup> Universidade Tecnológica Federal do Paraná, Curitiba, Brasil

<sup>3</sup> University of Toronto, Canadá (doutorado-sanduíche)  
{uchoa, jlrebelatto, rwnobrega}@eel.ufsc.br



## Introdução

- Em **Codificação de rede** (Ahlswede *et al.* (2000)), os nodos intermediários da rede de dados combinam os pacotes recebidos, ao invés de apenas roteá-los.
- O código de rede é normalmente projetado para uma topologia específica (ver FIGURA 1), com o objetivo de se alcançar a máxima taxa de transferência de informação da rede, e permanece fixo ao longo do tempo.
- Na maioria dos casos, a codificação de rede é *coerente*, no sentido de que os nodos destino conhecem a topologia e a codificação de rede empregada.
- Neste trabalho, consideramos o cenário não-coerente e outro em que codificação de rede é usada para melhorar o desempenho da rede.

## Codificação de Rede para Melhorar o Desempenho da Rede

- Em uma rede sem fio cooperativa de múltiplo acesso em que os usuários possuem informações independentes para transmitir para um destino em comum, pode-se dividir o processo de transmissão em duas fases: a **fase de difusão**, em que os usuários difundem suas próprias mensagens (normalmente através de canais ortogonais), e a **fase de cooperação**, em que os usuários retransmitem as mensagens de seus parceiros que foram “ouvidas” durante a fase de difusão.
- Um dos protocolos de retransmissão mais utilizados é o **decodifica-e-encaminha (DAF — decode-and-forward)** de Sendonaris *et al.* (2003) e Laneman *et al.* (2004).
- O DAF é ilustrado na FIGURA 2 para 2 usuários. A ordem de diversidade (de cooperação) é 2.
- Ao invés de simplesmente retransmitir os pacotes do parceiro, os usuários poderiam efetuar combinações lineares destes, caracterizando assim uma codificação de rede.
- Xiao e Skoglund (2010) propuseram os **códigos de rede de diversidade (DNC)** e mostraram que combinações lineares não-binárias são requeridas para que a ordem de diversidade do sistema seja aumentada.
- Um DNC sobre  $\mathbb{F}_4$  é ilustrado na FIGURA 3 para 2 usuários. A ordem de diversidade (de cooperação) foi aumentada para 3.
- Rebelatto *et al.* (2010, 2011) perceberam que os pacotes potencialmente recebidos pelo destino,  $(I_1, I_2, I_1+I_2$  e  $I_1+2I_2)$ , podem ser vistos como uma palavra-código de um código de bloco com matriz geradora

$$G = \begin{pmatrix} 1 & 0 & 1 & 1 \\ 0 & 1 & 1 & 2 \end{pmatrix}$$

- Os pacotes de informação  $I_1$  e  $I_2$  serão recuperados pelo destino se no máximo 2 pacotes (dos 4 transmitidos) forem apagados (distância mínima de Hamming 3).
- O **DNC generalizado (GDNC)** foi então proposto, através de uma associação entre códigos de rede e teoria da codificação clássica (Reed-Solomon codes): cada usuário transmite  $k_1$  pacotes de informação na fase de difusão e  $k_2$  pacotes (combinações lineares) na fase de cooperação.
  - Uma melhor solução de compromisso entre diversidade de cooperação e taxa de transmissão foi alcançada (ver simulação na FIGURA 4).

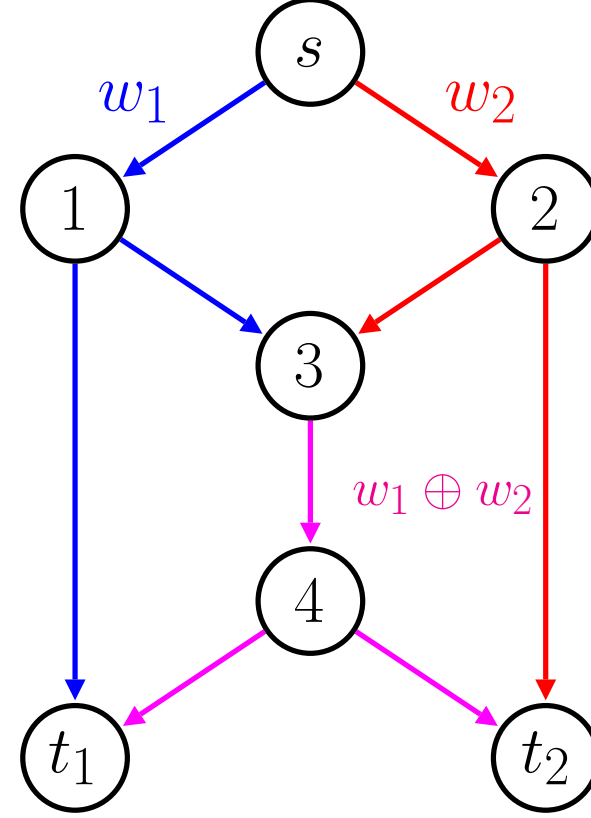


FIGURA 1: A rede borboleta (com fio).

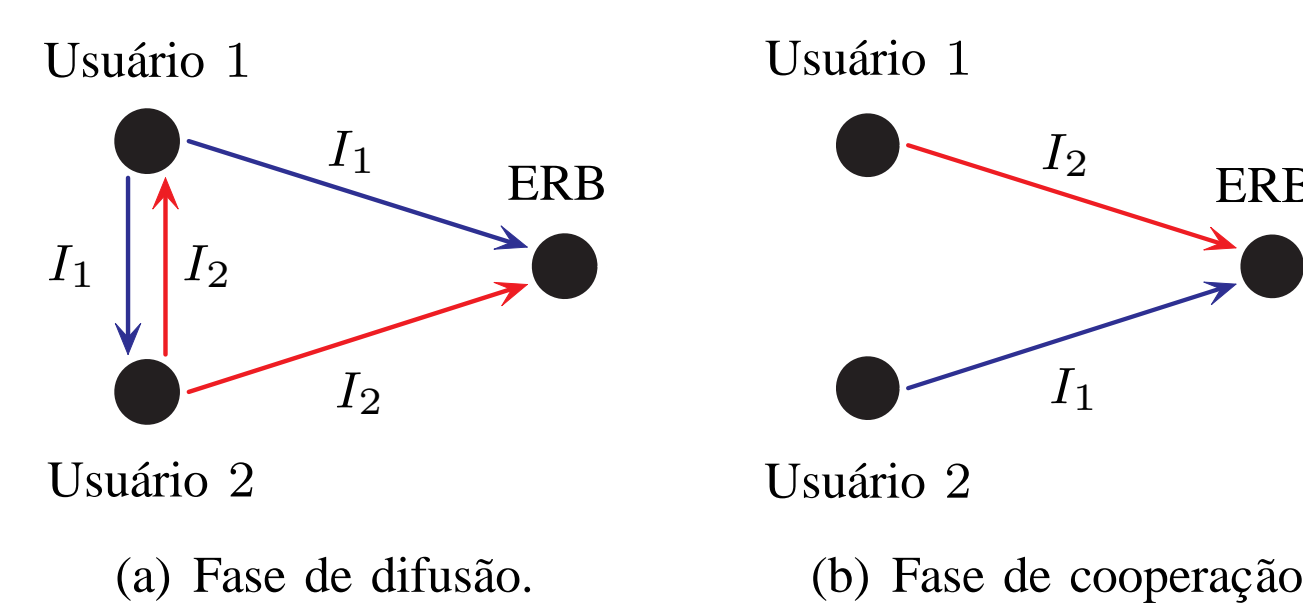


FIGURA 2: Rede cooperativa DAF (sem fio) com 2 usuários.

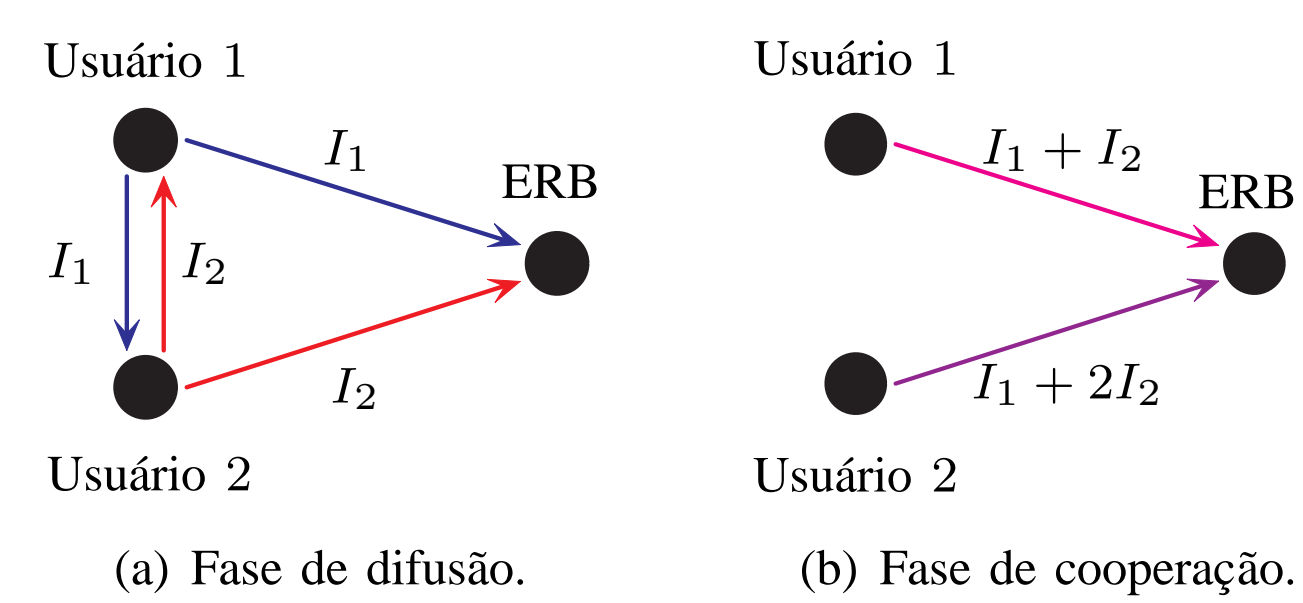


FIGURA 3: Rede cooperativa (sem fio) com 2 usuários empregando codificação de rede linear sobre  $\mathbb{F}_4$ .

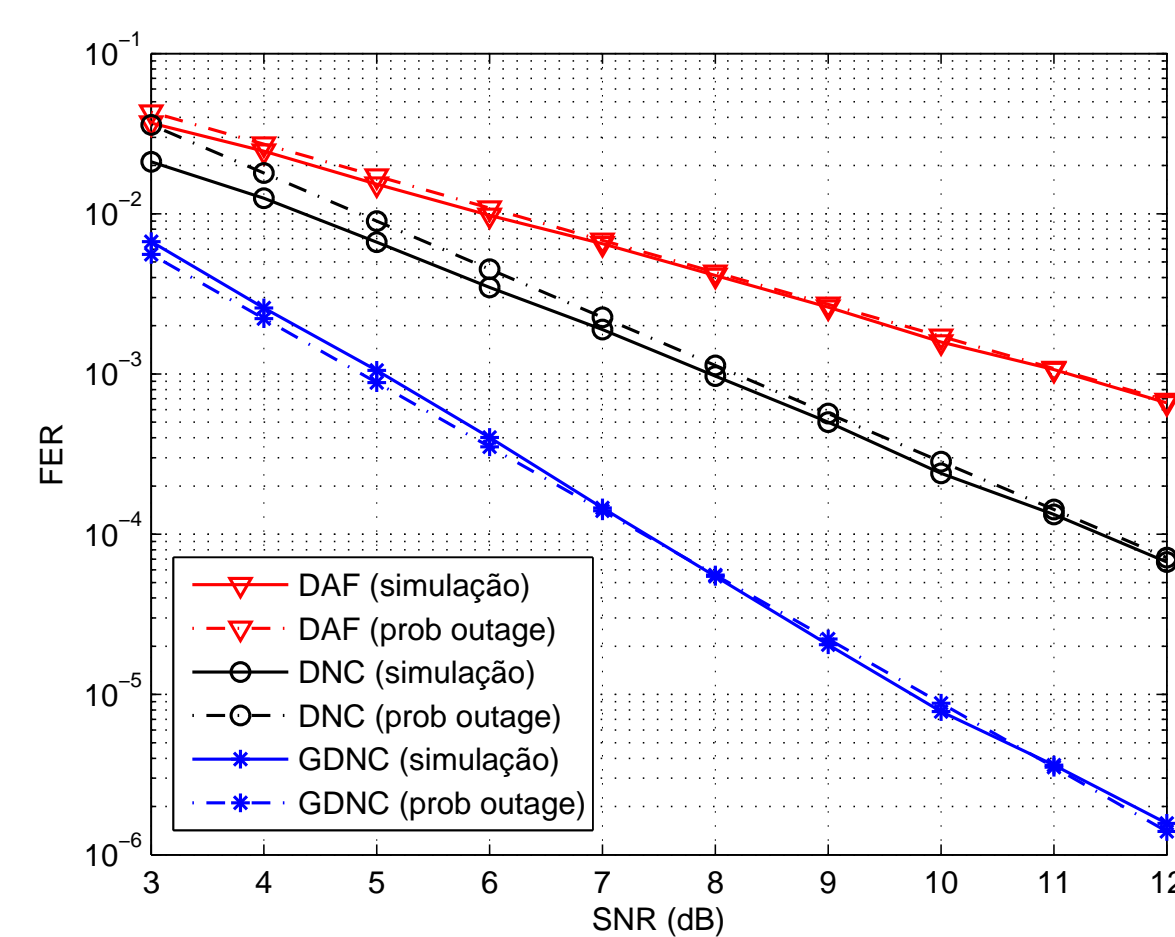


FIGURA 4: FER versus SNR (dB) para os esquemas DAF, DNC e GDNC ( $k_1 = k_2 = 2$ ), todos com taxa 1/2.

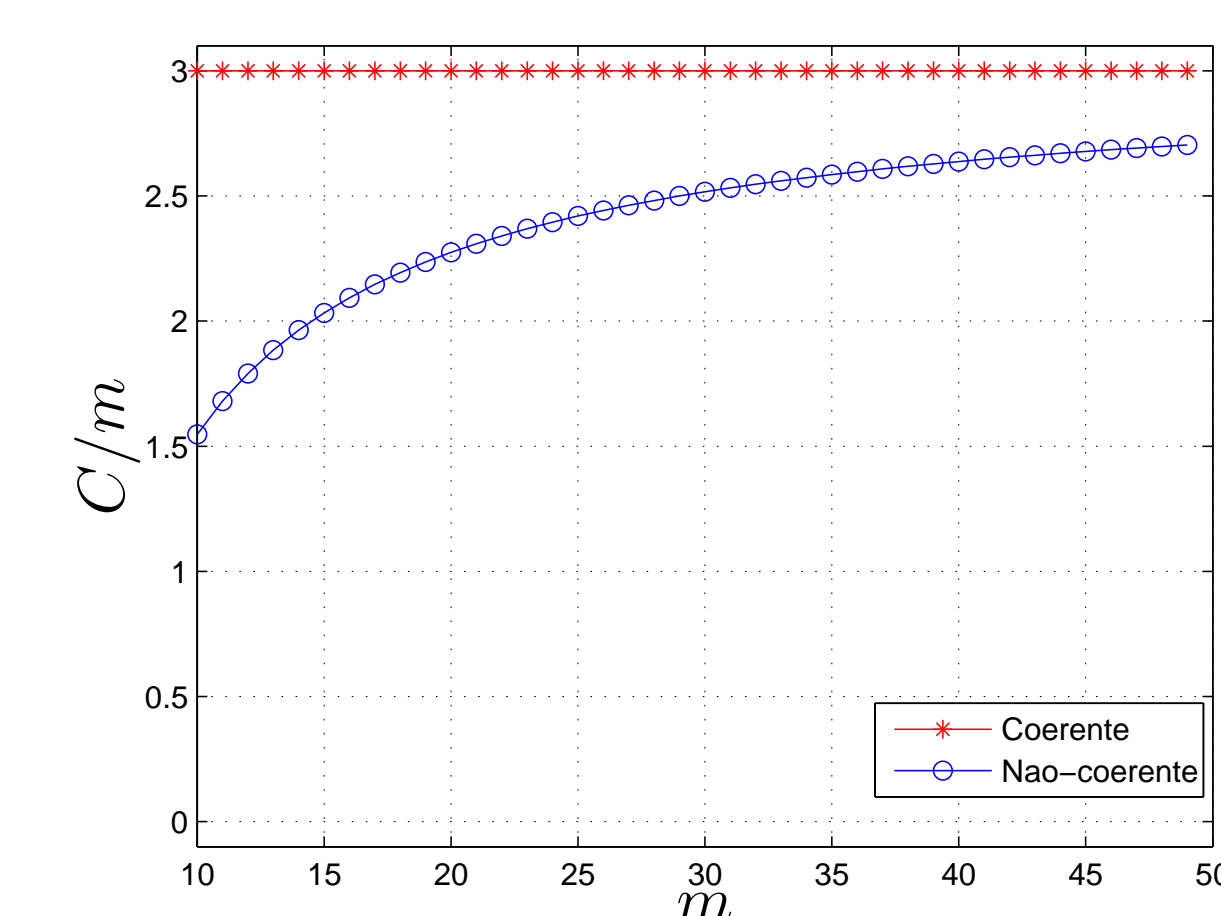


FIGURA 5: Limitantes (inferior e superior) sobre a capacidade do canal matricial  $Y = GX$ , para o corpo  $\mathbb{F}_2$  e  $n = 5$  pacotes injetados na rede, em função do tamanho do pacote  $m$ .

## Codificação de Rede Não-Coerente e Códigos de Subespaço

### Topologia variante no tempo

#### Problema:

- Nas técnicas DNC e GDNC, a codificação de rede é projetada e mantida fixa para a topologia específica, e é conhecida pelo destino.
- E se a topologia da rede variar com o tempo? Esta abordagem pode se tornar impraticável.

#### Soluções:

- Chou, Wu e Jain (2003) propuseram uso de um *header*, dando origem à **codificação de rede não-coerente**.
- Ho *et al.* (2003,2006) propuseram a **codificação de rede linear aleatória**: nodos realizam combinações lineares escolhendo independente e aleatoriamente coeficientes do corpo.

$$Prob(\text{código de rede bem sucedido}) \rightarrow 1 \text{ para } q \rightarrow \infty$$

- O funcionamento do sistema passa a ser totalmente descentralizado.
- Koetter e Kschischang (2008) propuseram **codificação de subespaço**: como a rede realiza combinações lineares dos pacotes nela injetados, o subespaço vetorial gerado por tais pacotes é preservado.

### Canal Matricial e Códigos de Subespaço

- Os pacotes transmitidos,  $X \in \mathbb{F}_q^{n \times m}$ , e os pacotes recebidos,  $Y \in \mathbb{F}_q^{n \times m}$ , (com apagamentos, porém sem erros) se relacionam por:  $Y = GX$ , em que  $G \in \mathbb{F}_q^{n \times n}$  é a **matriz de transferência**, que depende da topologia da rede e do código de rede empregado.
- Koetter e Kschischang (2008) notaram que  $X$  e  $Y$  constituem duas bases geradoras distintas para o mesmo subespaço vetorial:

$$\langle Y \rangle = \langle GX \rangle = \langle X \rangle$$

em que  $\langle A \rangle$  é o subespaço gerado pelas linhas da matriz  $A$ .

- A **informação é então associada ao subespaço vetorial**, e não ao conteúdo dos pacotes. Assim, as combinações lineares específicas realizadas pela rede são irrelevantes, e a informação pode ser recuperada no destino sem qualquer conhecimento da topologia ou da codificação de rede realizada.

- Devido a possíveis apagamentos ocorridos nos canais ou a eventuais combinações lineares infelizes,  $G$  pode não ter posto completo.

- Um **código de subespaço** é um subconjunto não-vazio de  $\mathcal{P}(\mathbb{F}_q^m, n)$ , o conjunto de todos os subespaços vetoriais de  $\mathbb{F}_q^m$  de dimensão  $n$  ou menos.

### Modelo de erro probabilístico

- Considera-se um canal discreto sem memória:

$$(\mathcal{X} = \mathbb{F}_q^{m \times n}, p_G(\cdot), \mathcal{Y} = \mathbb{F}_q^{m \times n})$$

- **Resultado** [Nóbrega *et al.* (2011)]: Seja  $m \geq n$  e  $r \triangleq \text{posto}(G)$  a variável aleatória que representa o posto de  $G$ . Então a capacidade  $C$  do canal satisfaz

$$E \left[ \log_q \frac{\binom{m}{r}_q}{\binom{m}{r}_q} \right] \leq C \leq E[mr],$$

em que  $\binom{m}{k}_q$  é o coeficiente Gaussiano.

- A FIGURA 5 mostra os limitantes para  $q = 2$ ,  $n = 5$  e  $p(r) = (0, \frac{1}{10}, \frac{1}{5}, \frac{2}{5}, \frac{1}{10})$ .